

## μ-オピオイド受容体アゴニストとORL-1受容体アンタゴニストから成る キメラペプチドの受容体親和性と鎮痛活性

河野 奨, 伊藤 里沙, 西山 美春, 久保 麻衣, 松島 知子, 安保 明博, 佐々木有亮

Receptor binding properties and antinociceptive effects of chimeric peptides consisting  
of a  $\mu$ -opioid receptor agonist and an ORL-1 receptor antagonist

Susumu KAWANO, Risa ITO, Miharu NISHIYAMA, Mai KUBO, Tomoko MATSUSHIMA,  
Akihiro AMBO, and Yusuke SASAKI\*

(Received November 21, 2006)

Receptor binding properties and antinociceptive activities of chimeric peptides linked by spacers were investigated. The peptides consisted of the  $\mu$ -opioid receptor ligand dermorphin (Tyr-D-Ala-Phe-Gly-Tyr-Pro-Ser-NH<sub>2</sub>) or its analog YRFB (Tyr-D-Arg-Phe- $\beta$ Ala-NH<sub>2</sub>) linked to the ORL-1 receptor ligand Ac-Arg-Tyr-Tyr-Arg-Ile-Lys-NH<sub>2</sub> (Ac-RYYRIK-NH<sub>2</sub>). All chimeric peptides were found to possess high receptor binding affinities for both  $\mu$ -opioid and ORL-1 receptors in mouse brain membranes. In particular, chimeric peptide **2**, which consists of dermorphin and Ac-RYYRIK-NH<sub>2</sub> connected by a long spacer, had high binding affinities toward both receptors. In the tail-flick test following intracerebroventricular (i.c.v.) administration of chimeric peptides containing the YRFB sequence (**3** and **4**) unexpectedly showed much less potent antinociceptive activity ( $ED_{50}$  >100 pmole/mouse). These results suggest the involvement of nociceptin-like effects of the Ac-RYYRIK pharmacophore in the peptides, and the regulation of  $\mu$ -opioid receptor-mediated antinociception in brain. The present chimeric peptides (**2**, **3** and **4**) may be useful as pharmacological tools for studies on  $\mu$ -opioid receptor/ORL-1 receptor heterodimers.

Key words — chimeric peptide;  $\mu$ -opioid receptor ; ORL1 receptor ; receptor binding property; tail-flick test

Nociceptin/orphanin FQ (Phe-Gly-Gly-Phe-Thr-Gly-Ala-Arg-Lys-Ser-Ala-Arg-Lys-Leu-Ala-Asn-Gln, NOC) は opioid receptor-like 1 (ORL-1) 受容体の内因性リガンドである<sup>1,2)</sup>。NOCによるORL-1受容体の活性化は、脊髄において高用量で鎮痛効果を示し、低用量では痛覚過敏や抗opioid鎮痛効果を示し、自発行動量の低下、記憶学習、不安など多彩な生理活性を引き起こす<sup>3-12)</sup>。

最近NOCと同程度のORL-1受容体親和性をもつ acetyl-Arg-Tyr-Arg-Ile-Lys-NH<sub>2</sub>(Ac-RYYRIK-NH<sub>2</sub>)

を含む数種のヘキサペプチドがペプチドライブラー技術によって見出されている<sup>13)</sup>。これらヘキサペプチドは、[<sup>35</sup>S]GTP $\gamma$ S結合やforskolinによる細胞内c-AMP増加作用に対して、それぞれpartial agonistあるいはantagonistとして機能することが報告されている<sup>14,15)</sup>。またマウスの輸精管を用いたin vitro 生物活性試験ではantagonistとして作用することが報告されている<sup>16)</sup>。従ってこれらのペプチドはmorphineに代表されるopioidとは異なる作用機序をもつ新規鎮痛薬のリード化合物になる

可能性を有している。

一方, G-タンパク質共役型受容体はホモあるいはヘテロ二量体を形成することが報告されている<sup>17)</sup>。opioid受容体においてもそのホモまたはヘテロ二量体の存在が示唆されており、生体内においてそれらがopioid agonistの持つ生理活性の一部を担っていることが推測される<sup>18)</sup>。Panらは $\mu$ -opioid受容体とORL-1受容体が物理的に会合していることを発見し、この複合体の受容体親和性がそれぞれの受容体単独での受容体親和性と異なることを明らかにした<sup>19)</sup>。

これらのことから、著者らは $\mu$ -opioid受容体とORL-1受容体の両方を認識する二価性の化合物は、親和性の増加、生物活性の上昇を引き起こす可能性があると考え、前報で $\mu$ -opioid受容体リガンドのdermorphin (Tyr-d-Ala-Phe-Gly-Tyr-Pro-Ser-NH<sub>2</sub>)<sup>20)</sup> または、YRFB (Tyr-d-Arg-Phe- $\beta$ Ala-NH<sub>2</sub>)<sup>21)</sup> とORL-1受容体リガンドAc-RYYRIK-NH<sub>2</sub>を連結した4種類のキメラペプチド (Fig. 1) を合成した<sup>22)</sup>。これらキメラペプチドは、ラット脳の $\mu$ -opioid受容体とHEK-293細胞に発現させたORL-1受容体に対して高い親和性を持つことを明らかにした<sup>22)</sup>。

本研究では、これらのキメラペプチドの鎮痛作用をマウスtail flick法を用いて検討し、マウス脳シナプトソーム画分において $\mu$ -opioid受容体およびORL-1受容体に対する親和性との比較を行った。

|          |                                 |
|----------|---------------------------------|
|          | YAFGYP <i>S</i>                 |
| Analog 1 | Ac-RYYRIK-K-NH <sub>2</sub>     |
|          | YAFGYP <i>S</i> -GG             |
| Analog 2 | Ac-RYYRIK-GGG-K-NH <sub>2</sub> |
|          | YRFB                            |
| Analog 3 | Ac-RYYRIK-K-NH <sub>2</sub>     |
|          | YRFB-GGGGG                      |
| Analog 4 | Ac-RYYRIK-GGG-K-NH <sub>2</sub> |

Fig. 1. Synthetic chimeric peptides. Italic letters (*A*, *R*) represent the d-isoform.

## 実験材料および方法

### 1. ペプチド

すべてのキメラペプチドは一般的なFmoc固相合成法によって合成した<sup>22)</sup>。すなわちFmoc-Lys(Alloc)-NH SAL樹脂より合成を開始し、LysのN<sup>a</sup>位側にORL-1受容体に対するファーマコフォア (Ac-RYYRIK-部) を構築し、tetrakis (triphenylphosphine) palladium (0) により脱Alloc化後、N<sup>e</sup>位側に $\mu$ -opioid受容体に対するファーマコフォア (dermorphinあるいはYRFB部) を構築した。

### 2. 使用動物

25–30gのddY系雄性マウス (1群8匹) 用いた。マウスは明暗12時間サイクル、室温22±0.5°Cの一定環境下、固体飼料、水道水を自由摂取させた。なお、実験動物の取り扱いは東北薬科大学動物実験指針に基づき実施した。

### 3. 受容体結合試験

マウス前脳を10倍容量の氷冷0.25Mショ糖/10mM Tris-HCl緩衝液 (pH 7.4) 中でホモジネートし、4°C, 1,000xg, 10分間遠心分離した。得られた上清をさらに4°C, 10,000xg, 15分間遠心分離し、ペレットに5倍容量の50 mM Tris-HCl緩衝液を加えて懸濁した。溶液を15分間室温でインキュベーションの後、4°C, 10,000xg, 15分間遠心分離を行いシナプトソーム画分とした。Bradford法<sup>23)</sup>によりタンパク質量を求め、2 mg/mLの濃度に調整した。

マウス脳シナプトソーム画分 (600 μg protein), 合成ペプチド (50 μL), プロテアーゼインヒビター (50 μg bacitracin, 5 μg bestatin, 20 μg soybean trypsin inhibitorを含む5%BSA/ Tris-HCl 緩衝液, 50 μL), 2 nM [<sup>3</sup>H] DAMGO ([<sup>3</sup>H][D-Ala<sup>2</sup>, MePhe<sup>4</sup>, Gly-ol<sup>5</sup>] enkephalin, 59.0 Ci/mmol, Amersham) または1 nM [<sup>3</sup>H] NOC (23 Ci/mmol, Amersham) を含む全量500 μLのTris-HCl緩衝液 (pH 7.4) を25°Cで60分間インキュベーションした。非特異的結合は1 μMのDAMGO またはNOC存在下で測定した。インキュベーション終了後、その反応混

液450  $\mu$ Lをあらかじめ0.1% polyethyleneimineに浸しておいたWhatman GF/Bガラスフィルターで吸引ろ過した。その後ガラスフィルターを氷冷した4 mLの50 mM Tris-HCl緩衝液で2回洗浄しB/F分離した後、バイアル瓶に移し3 mLのクリアゾルIを加え、十分に攪拌し、一晩放置後、液体シンチレーションカウンター(Beckman 6500LS)で放射活性を測定した。それぞれの合成ペプチドの受容体への結合能は [ $^3$ H] 標識リガンドの結合を50%阻害する濃度( $IC_{50}$ )で示した。

#### 4. 鎮痛活性試験

鎮痛活性はマウス側脳室内にペプチドを投与し tail flick法を用い測定した。側脳室内投与(i.c.v.)はHaleyとMcComickらの方法<sup>24)</sup>に準じ、50  $\mu$ Lハミルトンマイクロシリンジを用い、すべての薬液を5  $\mu$ L投与した。なお  $\mu$ -opioidリガンドとORL-1リガンドの同時投与は、同用量のリガンド混液を用いた。熱刺激をマウス尾部に照射し、その刺激からの回避潜時を測定した。刺激強度は未処理のマウスの回避潜時間が2~3秒になるように設定した。組織損傷を最小限にするため最大照射時間は8秒にした。鎮痛活性は、MPE% (percentage of maximum possible effect)で示す。MPE%は以下の式によって求めた。MPE% = {(test latency)-(base-line latency)} / {(cut-off time)-(base-line latency)} × 100。

#### 5. 統計処理

鎮痛活性は1群8匹とし、受容体結合試験は3回行い、平均±標準誤差で示した。受容体結合試験の有意差は一元配置分散分析(ANOVA)の後Tukey-Kramer test用いた。 $ED_{50}$ と95%信頼区間はGraph Pad Prism(Graph Pad Software, var.4)の非線形解析を用いて求めた。

## 結果

#### 1. 受容体親和性

4種のキメラペプチドの  $\mu$ -opioid受容体およびORL-1受容体親和性を参照ペプチドと共にTable 1に示す。 $\mu$ -opioidリガンドであるdermorphinとYRFBの $IC_{50}$ 値は、それぞれ0.29と0.67 nMを示し、高い  $\mu$ -受容体親和性を有した。これら  $\mu$ -opioidリガンドのORL-1受容体親和性は極めて低かった。一方ORL-1リガンドのAc-RYYRIK-NH<sub>2</sub>は $IC_{50}$ 値で0.64 nMと高いORL-1受容体親和性を有し、 $\mu$ -opioid親和性は極めて低かった。DermorphinとAc-RYYRIK-をLys残基で結合した1や長いスペーサーの2は、dermorphinに匹敵する  $\mu$ -opioid親和性を有していた(1: 0.49 nM, 2: 0.16 nM)。対照的に、YRFBを含む3と4は  $\mu$ -受容体親和性が有意に低下した。これら4種のキメラペプチドはAc-RYYRIK-NH<sub>2</sub>に匹敵するORL-1受容体親和性を有していた( $IC_{50}$ : 0.48~2.12 nM)。

Table 1.  $\mu$ -Opioid and ORL1 receptor binding affinities in mouse brain membranes

| Peptide                   | $IC_{50}$ (nM)            |                      |
|---------------------------|---------------------------|----------------------|
|                           | [ $^3$ H] DAMGO ( $\mu$ ) | [ $^3$ H] NOC (ORL1) |
| dermorphin                | 0.29 ± 0.04               | 10000<               |
| YRFB                      | 0.67 ± 0.20               | 10000<               |
| Ac-RYYRIK-NH <sub>2</sub> | 10000<                    | 0.64 ± 0.25          |
| 1                         | 0.49 ± 0.24               | 2.12 ± 0.30          |
| 2                         | 0.16 ± 0.07               | 0.48 ± 0.21          |
| 3                         | 4.57 ± 0.69*              | 0.67 ± 0.48          |
| 4                         | 3.14 ± 0.16*              | 0.59 ± 0.28          |

Each value represents the mean ± S.E.M of at least three separate experiments. The statistical significance of differences between groups was determined by Tukey-Kramer test. \* p<0.05 vs. YRFB

## 2. 鎮痛活性

キメラペプチドの鎮痛活性をマウス tail flick 法により検討した。ED<sub>50</sub>値をTable 2に、用量反応曲線をFig. 2に示した。本条件下ではORL-1リガンドであるAc-RYYRIK-NH<sub>2</sub>の単独投与100 pmol/mouse以下では鎮痛活性は微弱であった。一方 $\mu$ -opioidリガンドであるdermorphinおよびYRFBはそれぞれED<sub>50</sub>値として6.54, 2.24 pmol/mouseを示し、強力な鎮痛活性を有していた。これはSakurada

らの報告<sup>25,26)</sup>とほぼ同様な結果である。さらに dermorphin および YRFB と Ac-RYYRIK-NH<sub>2</sub> の同用量同時投与では、dermorphin および YRFB を単独投与した場合と比べ、鎮痛効果はそれぞれ約 70 % と約 50 % に減弱した。ペプチド 1 と 2 はそれぞれ 5.55, 14.23 pmol/mouse の ED<sub>50</sub> 値を示し、比較的強い鎮痛活性を有していた。またその効果は用量依存的だった。しかし、 $\mu$ -opioid 親和性の低い 1 は 2 に比べ強い鎮痛活性を有していた。すなわち

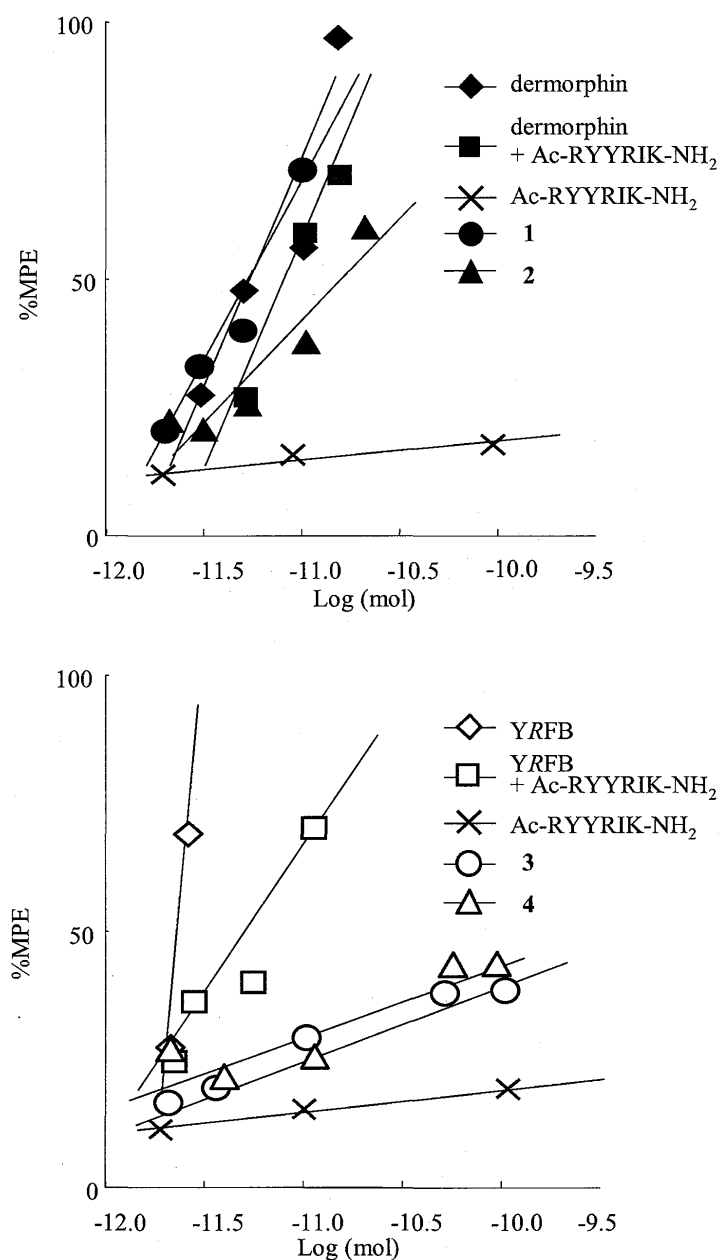


Fig. 2. Dose response curves of chimeric peptides after i.c.v. administration in the tail-flick test. Each point represents the mean determined with eight mice.

Table 2. Antinociceptive activities of chimeric peptides in the tail-flick test after i.c.v. administration in mice<sup>a)</sup>

| Peptide  | ED <sub>50</sub> (pmole) |
|--|--------------------------|
| dermorphin   | 6.54 ( 5.23 - 8.42)      |
| dermorphin + Ac-RYYRIK-NH <sub>2</sub> <sup>b)</sup> | 8.34 ( 6.44 - 10.79)     |
| YRFB   | 2.24 ( 2.12 - 2.38)      |
| YRFB + Ac-RYYRIK-NH <sub>2</sub> <sup>b)</sup>       | 4.59 ( 3.29 - 6.40)      |
| Ac-RYYRIK-NH <sub>2</sub>                            | 100<                     |
| <b>1</b>   | 5.55 ( 4.27 - 7.23)      |
| <b>2</b>   | 14.23 ( 9.65 - 20.97)    |
| <b>3</b>   | 100<                     |
| <b>4</b>   | 100<                     |

a) Each value represent the mean (95% confidence limits) of 8 mice/group.

b) The same amount of both peptides was simultaneously injected.

$\mu$ -opioid 親和性の低い**1**は dermorphin 単独投与と同程度の鎮痛効果を示し、**2**は dermorphin 単独投与時の約 50 %, Ac-RYYRIK-NH<sub>2</sub> 同時投与の約 70 % に低下した。これに対し、**3**と**4**の鎮痛効果は弱く、Fig. 2 に示すように、低用量側では用量依存的であるが高用量側では明瞭な用量依存性がみられず、100 pmol/mouse 投与で約 45 % MPE にとどまった。すなわち**3**と**4**は、それぞれの  $\mu$ -リガンド単独投与時の 1/50 以下、Ac-RYYRIK-NH<sub>2</sub> の同時投与時の 1/20 以下に減弱した。

## 考 察

先に著者らは  $\mu$ -opioid 受容体リガンドの dermorphin あるいは YRFB と ORL-1 受容体リガンド Ac-RYYRIK-NH<sub>2</sub> から成るキメラペプチド**1**~**4** がラット脳シナプトソーム画分 ( $\mu$ -opioid 受容体) とヒト ORL-1 受容体発現細胞膜標本に対して、高い親和性を示すことを報告している<sup>22)</sup>。本研究でのマウス脳シナプトソーム画分においても、 $\mu$ -opioid と ORL-1 両受容体に対して高い親和性を有していた。キメラペプチドの中でも、dermorphin と Ac-RYYRIK-NH<sub>2</sub> の配列を Lys とオリゴGly 残基で架橋した長鎖スペーサーを持つ**2**は、両受容体に強い親和性を持つことから  $\mu$ -opioid と ORL-1 受容体両方に結合できるユニバーサルリガンドであることが示唆された。

これらペプチドの i.c.v. 投与後の鎮痛効果は  $\mu$ -opioid 受容体親和性とは必ずしも一致しなかった。近年、脳において NOC は  $\mu$ -opioid 受容体を介して起きた鎮痛作用を阻害することが数多く報告されていることから<sup>8-10,27-31)</sup>、キメラペプチドの Ac-RYYRIK-ファーマコフォアは antagonist としてよりも agonist としての効果が現れたと考えられる。脳では、ORL-1 と  $\mu$ -opioid 受容体が同じ領域に分布していることが報告<sup>32)</sup>されており、今回合成したキメラペプチドは、脳において  $\mu$ -opioid 受容体を介して起きた鎮痛作用を減弱させることから、これらの受容体に 2 つのファーマコフォアを介して同時に結合している可能性も考えられる。dermorphin を  $\mu$ -opioid リガンドファーマコフォアとしてもつキメラペプチドは、2 つのファーマコフォア間に**2**のような長鎖スペーサーを挿入することにより鎮痛効果の減弱が引き起こされる、**2**はその高い受容体親和性を考え合わせると、in vivo でも  $\mu$ -opioid および ORL-1 受容体両方に結合できるユニバーサルリガンドである可能性が考えられる。

一方、YRFB を  $\mu$ -opioid ファーマコフォアとしてもつキメラペプチド**3**, **4**にはスペーサーによる明瞭な差は見られなかった。しかし、高用量側での鎮痛活性は用量依存性がみられず、 $\mu$ -opioid 受容体に対する partial agonist として作用することが示唆された。これらの効果は dermorphin をファーマコフォアとして持つ**1**および**2**の結果と異なり、興

味深い知見である。

最後に,  $\mu$ -opioid受容体とORL-1受容体は脳で共発現している。また機能的に相互作用し, 特殊な情報伝達が起こることが指摘されている<sup>30-34)</sup>。本研究でのキメラペプチドのうち, 特に**2**はin vitroでもin vivoでも $\mu$ -opioid受容体とORL-1受容体両方に結合できるキメラペプチドであることが示唆された。本研究では一つの分子が $\mu$ -opioidおよびORL-1受容体に同時に結合している可能性と, 2つの受容体にそれぞれ片方のファーマコフォアが結合している可能性もあり, 現在のところ詳細な受容体への結合様式については明らかでない。しかし新規な作用をもつこれらのキメラペプチドは, in vivoでの $\mu$ -opioid受容体, ORL-1受容体の薬理学的, 生理学的な相互作用の解明に有用と考えられる。

## REFERENCES

- 1) Meunier J. C., Mollereau C., Toll L., Suaudeau C., Moisand C., Alvinerie P., Butour J. L., Guillemot J. C., Ferrarau P., Monserrat B., Masarguil H., Vassart G., Parmentier M., Costentin J., *Nature*, **377**, 532-535 (1995)
- 2) Reimsheid R. K., Nothacker H. P., Bourson A., Ardati A., Hennigsen R. A., Bunzow JR., Grandy D. K., Langen H., Monsma F. J., Jr., Civelli O., *Science*, **270**, 792-798 (1995)
- 3) Meunier J. C., *Eur. J. Pharmacol.*, **340**, 1-15 (1997)
- 4) Calo'G., Guerrini R., Rizzi A., Salvadori S., Regoli D., *Br. J. Pharmacol.*, **229**, 1261-1283 (2000)
- 5) Mogil J. S., Pasternak G. W., *Pharmacol. Rev.*, **53**, 381-415 (2001)
- 6) Henderson G., Macknight A. T., *Trends. Pharmacol. Sci.*, **18**, 293-300 (1997)
- 7) Rossi G., Leventhal L., Bolan E. A., Pasternak G. W., *J. Pharmacol. Exp. Ther.*, **282**, 858-865 (1997)
- 8) Tian J. H., Xu W., Fang Y., Mogil J. S., Grisel J. E., Grandy D. K., Sheng J. H., *Br. J. Pharmacol.*, **120**, 676-680 (1997)
- 9) King M., Chang A., Pasternak G. W., *Biochem. Pharmacol.*, **55**, 1537-1540 (1998)
- 10) Kolesnikov Y. A., Pasternak G. W., *Life Sci.*, **64**, 2021-2028 (1999)
- 11) Calo G., Rizzi A., Marzola G., Guerrini R., Salvadori S., Beani L., Regoli D., Bianchi C., *Br. J. Pharmacol.*, **125**, 373-378 (1998)
- 12) Inoue M., Shimohira I., Yoshida A., Takeshima H., Sakurada T., Ueda H., *J. Pharmacol. Exp. Ther.*, **291**, 308-313 (1999)
- 13) Dooley C. T., Spaeth C. G., Berzetei-Gurske I. P., Craymer K., Adapa I. D., Brandt S. R., Houghten R. A., Toll L., *J. Pharmacol. Exp. Ther.*, **283**, 735-741 (1997)
- 14) Berger H., Albrecht E., Wallukat G., Bienert M., *Br. J. Pharmacol.*, **126**, 555-558 (1999)
- 15) Berger H., Bigoni R., Albrecht E., Richter R. M., Krause E., Bienert M., Calo G., *Peptides*, **21**, 1131-1139 (2000)
- 16) Calo G., Bigoni R., Rizzi A., Guerrini R., Salvadori S., Regoli D., *Peptides*, **21**, 935-947. (2000)
- 17) Rios C. D., Jordan B. A., Gomes I., Devi L. A., *Pharmacol. Ther.*, **92**, 71-87 (2001)
- 18) Jordan B. A., Cvejic S., Devi L. A., *Neuropsychopharmacol.*, **23**, S5-S18 (2000)
- 19) Pan Y. X., Bolan E., Pastrnak G. W., *Biochem. Biophys. Res. Commun.*, **297**, 659-663 (2002)
- 20) Broccardo M., Ersperer V., Ersperer G. F., Impronta G., Linari G., Melchiorri P., Motencucchi P. C., *Br. J. Pharmacol.*, **73**, 625-631 (1981)
- 21) Sasaki Y., Ambo A., Suzuki K., *Chem. Pharm. Bull.*, **39**, 2316-2318 (1991)
- 22) Kawano S., Ambo A., Sasaki Y., *Bioorg. Med. Chem. Lett.*, **16**, 4839-4841 (2006)
- 23) Bradford M. M., *Anal. Biochem.*, **248**, 54 (1976)
- 24) Haley T. J., McCormick W. G., *Br. J. Pharmacol.*, **12**, 12-15 (1957)
- 25) Sakurada S., Takeda S., Sato T., Hayashi T., Yuki M., Kutsuwa M., Tan-No K., Sakurada C., Kisara K., Sakurada T., *Eur. J. Pharmacol.*, **395**, 107-112 (2000)
- 26) Sakurada S., Watanabe H., Sakurada T., Kisara K., Sasaki Y., Suzuki K., *Eur. J. Pharmacol.*, **211**, 75-80 (1992)

- 27) Wang Y. Q., Zhu C. B., Wu G. C., Cao X. D., Wang Y.,  
Cui D. F., *Brain Res.*, **835**, 241-246 (1999)
- 28) Mogil J. E., Grisel J. E., Zhangs G., Belknap J. K.,  
Grandy D. K., *Neurosci. Lett.*, **214**, 131-134 (1996)
- 29) Mandyam C. D., Thakker D. R., Christensen J. L.,  
Standifer K. M., *J. Pharmacol. Exp. Ther.*, **302**, 502-  
509 (2002)
- 30) Wang H. L., Hsu C. Y., Huang P. C., Kuo Y. L., Li A. H.,  
Yeh T. H., Tso A. S., Chen Y. L., *J. Neurochem.*, **92**,  
1285-1294 (2005)
- 31) King M., Chang A., Pasternak G.W., *Biochem.  
Pharmacol.*, **55**, 1537-1540 (1998)
- 32) Monteillet-Agius G., Fein J., Anton B., Evans C. J., *J.  
Comp. Neurol.*, **399**, 373-383 (1998)
- 33) Yamamoto T., Shono K., Tanabe S., *J. Pharmacol.  
Exp. Ther.*, **318**, 206-213 (2006)
- 34) Grisel J. E., Mogil J. S., Belknap J. K., Grandy D. K.,  
*Neuroreport.*, **7**, 2125-2129 (1996)